

有機溶質の逆浸透膜(CA膜)に対する吸着特性  
—クロマトグラフィーによる検討—

豊橋技術大 工 正員 木曾 祥秋

### 1. はじめに

逆浸透法は、イオン性溶質に対する優れた分離特性が認められているが、非イオン性有機溶質の分離度は広範囲に変化する。また、ある種の有機酸では、セルロースアセテート(CA)膜による分離度が良いとなる場合も知られている。<sup>1)</sup> したがって、現在にみるべきも非イオン性有機溶質の膜分離機構は、イオン性溶質のそれほど明らかになっていとは言えない。一方、逆浸透処理において問題となる膜汚れについては、有機物による膜汚れについては十分に検討がなされていない。本研究では、これらの点を解明することを目的として、膜と有機溶質の相互作用に着目して検討を行った。なお、有機溶質のCAに対する吸着特性は、CAを充填したカラムクロマトグラフを用いることを試みた。

### 2. 実験方法

(1) カラムの調整 — 100-200 mesh のセルロースアセテート(CA; アセチル化度 39.8%) 43 g を、まずメタノール 200 ml に懸濁させ、蒸留水約 300 ml を加えてから澄らし、さらに蒸留水約 200 ml で 5 回以上洗浄したものと、蒸留水に再懸濁させた。この CA 懸濁液を内径 15 mm、長さ 1100 mm のガラスカラムに充填した。

(2) クロマトグラフィー — 試料は表 1 に示す有機溶質について、1 wt% 以下の濃度の溶液 2.0 ml を用いた。なお、溶解度の低い溶質は飽和溶液を調整し、その 2 倍希釈液を用いた。ドデシルベンゼンスルホン酸ナトリウム(SDS)は臨界ミセル濃度以下とした。移動相には脱気した蒸留水を用い、流速は 12-15 ml/h とした。流出水はフラクションコレクターごとに分取し、TOC または紫外分光光度計により濃度を測定した。カラムのホールドアップ体積( $V_0$ )は 0.5% NaCl 溶液用電気伝導度により測定を行った。

(3) 分配係数 — CA に対する溶質の分配係数( $K_d$ )は次式により求めた。

$$K_d = \frac{V_0 - V_0}{M}$$

$V_0$ : NaCl の流出位置 (ml)  
 $V_0$ : 溶質の流出位置 (ml)  
 $M$ : カラム内の CA の重量 (g)

有機化合物の親水性-疎水性の指標として、水-1-オクタノール分配係数( $\log P$ )を検討し、実測値のないものは Hansch ら<sup>2)</sup>の方法によつて計算した。表 1 にその結果を示す。

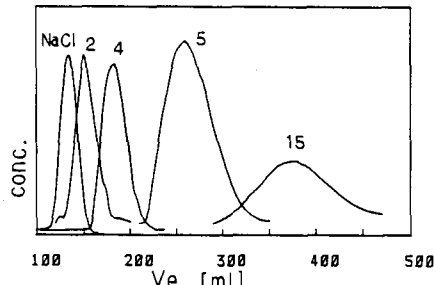


図 1 CA クロマトグラム (図中数字は溶質 No.)

### 3. 実験結果と考察

NaCl および

表 1 有機溶質の水-オクタノール分配係数 ( $\log P$ )

若干の有機溶質のクロマトグラムを図 1 に示す。  
比較的親水性の高い有機溶質の CA 吸着特性は本法によつて再現性よく測定できることが明らかになった。藻

No.	Solute	$\log P$	No.	Solute	$\log P$
1	Metanol	-0.75*)	15	2-Hexanone	1.38
2	Ethanol	-0.32	16	Formamide	-1.61
3	1-Propanol	0.34	17	Acetamide	-1.07*)
4	1-Butanol	0.88	18	N,N-dimethylacetamide	-0.77
5	1-Pentanol	1.40	19	N,N-Diethylformamide	0.07*)
6	1-Hexanol	2.03	20	N,N-Dipropylacetamide	1.43*)
7	2-Methyl-1-propanol	0.61	21	N,N-Dibutylformamide	2.23*)
8	2-Propanol	0.13*)	22	Benzene	2.13
9	2-Butanol	0.67*)	23	Nitrobenzene	1.85
10	2-Pentanol	1.34	24	Glucose	-3.24
11	2-hexanol	1.83*)	25	Lactose	-
12	2-Methyl-2-propanol	0.37	26	PEG (#6000)	-
13	Acetone	-0.24	27	PVP (K-90)	-
14	2-butanone	0.26	28	SDS	-

\*) : calculated values

水性の高リベンゼン、ニトロベンゼンは本実験条件では溶出せず、カラム上部に吸着したままであることが確認された。これらの点から、有機溶質のCA吸着は、主として溶質の疎水性が支配因子であることが認められた。図1に示したクロマトグラムは、ピーク中が広く分解能が高いとは言えない。この原因としては、(i) CAの粒度分布が比較的大きい、(ii) CA粒子が球状ではなく、たぶん多孔性であることなどが考えられる。

有機溶質の疎水性とCA吸着特性の関係を検討するために、アルコール、ケトン、エステル類の $\log K_d$ を $\log P$ に対してプロットしたものと図2、3に示す。親水性の高いメタノール、エタノール、ホルムアミド、アセトアミドなどでもむずかにCAに吸着することが認められ、自由エネルギー関数である $\log K_d$ と $\log P$ との間に直線関係が認められた。しかし、この関係は各溶質グループごとに若干の差が見られ、溶質分子全体の疎水性に支配されるだけでなく、CA自身が多官能基を有し、たぶん分子構造が複雑であることも影響しているものと考えられる。このことは、従来有機溶質の膜分離特性について同種の官能基を有するグループごとに検討されてきたことと同様な傾向と言える。

アルコール類の $\log K_d$ とDavelら<sup>3)</sup>の測定した分離度との関係を図4に示す。既往の報告<sup>4)</sup>と同様、この結果は溶質分離が疎水性もしくはCAに対する吸着性のみで支配されるのではなく、分子の立体構造の影響が表れているものと考えられる。

これらの結果なら、有機溶質の分離機構については、従来イオン性溶質の分離機構における考え方<sup>5)</sup>よりpreferential sorption層の存在を仮定することは不適当であると言える。

表2には糖類、界面活性剤(SDS)および高分子溶質の $K_d$ 値を示す。本研究で用いた溶質の中で最も親水性が高いと考えられるグルコース、ラクトースはCAへの吸着が認められなかった。CA膜面上に液体膜を形成するSDS<sup>6)</sup>は1-ブタノールと同程度の吸着性を示したが、CA膜面上での吸着層の形成にはSDS濃度の影響も大きい<sup>4)</sup>と言える。PVPは膜汚れを形成し易い溶質であるが、T<sub>w</sub>はT<sub>d</sub>よりも小さく、 $K_d$ は負の値を示した。またPEGも負の $K_d$ 値を示し、たぶん分子量の大きさPVPの方が小さい値となつてゐることから、充填したCA表面の多孔性のために、分子ふるい効果が現れたものと考えられる。

#### 4. おわりに

比較的親水性の高い有機溶質のCAに対する吸着性は、本法のようなクロマトグラフィーで測定可能であり、 $\log K_d$ と $\log P$ の間には直線関係が認められた。本法の応用は、有機溶質の膜分離機構および膜汚れ現象の解析に資するものと考えられると、分解能、高速化などの点でも多くの課題が残されている。《参考文献》 1) 神沢ら; 工化誌, 22, 1227(1969), 2) C. Hansch et al.; Substituent Constants for Correlation Analysis in Chemistry and Biology, John Wiley(1975). 3) W.A. Davel Jr. et al.; J. WPCF, 47, 57(1975). 4) 木曾ら; 日化誌, 1978, 1, 5) S. Srinivasan; "Reverse Osmosis and Synthetic Membrane", P.2. NRC(1979). 6) R.E. Kesting et al.; J. Coll. Int. Sci., 158(1960).

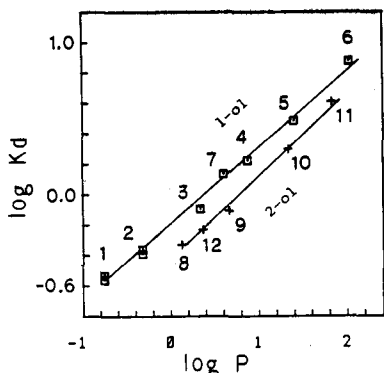


図 2  $\log P$  vs.  $\log K_d$  (アルコール類)

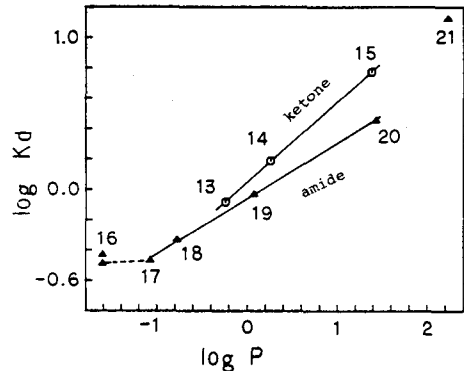


図 3  $\log P$  vs.  $\log K_d$  (ケトン, アミド類)

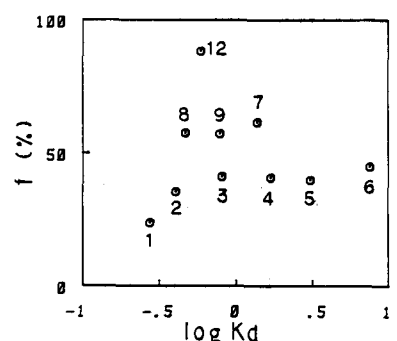


図 4 アルコール類の  $\log K_d$  と分離度の関係

表 2 糖類および高分子の  $K_d$

Solute	$K_d$
Glucose	0.00
Lactose	0.00
SDS	2.65
PEG (#6000)	-0.14
PVP (K-90)	-0.79